



NATA LIGHTING CO.,LTD.
www.nata.cn
Email:info@nata.com
Tel:+86-750-3770000 Fax:+86-750-3771111
Address:380JinOu Road,GaoXin Zone,Jiang Men City,Guangdong,China

NATA

Client:

LumCAT: 2-2645-L

Luminaire: 92.70.411.00

Report No: 2023602-B007

Ballast type: AC

Test No: 2023602-C007

Voltage(V): 33.950

LampCAT: SLM C 1208 L15 2024 G7 HE+

Current(A): 0.482

Lamp flux(lm): 2581.2

Power (W): 16.363

Number of Lamps: 1

PF: 0.000

Length(mm): 0

Width(mm): 0

Phm Type: C

Height(mm): 0

Photometric Results

Lumens(lm): 2480.74, Efficiency(%): 96.11% , Luminous Efficacy(lm/W): 151.61

Central intensity(cd): 5618.889, Maximum intensity(cd): 5618.889

Angle of maximum intensity: C=0.0 γ =0.0

Beam Angle(50%Imax): [C0/180]Total=38.8

[C90/270]Total=38.8

Field angle(10%Imax): [C0/180]Total=63.4

[C90/270]Total=63.4

Maximum s/h(1/2): C0_180=0.64 C90_270=0.64

Maximum s/h(1/4): C0_180=0.61 C90_270=0.61

Up flux rate of lamp(%): 0.00%

Down flux rate of lamp(%): 96.11%

Up flux rate of LUM(%): - -

Down flux rate of LUM(%): 100.00%

CIE Type : Direct lighting

Output flux ratio in π solid angle : 98.573%

$\gamma(^{\circ})$	Average I(cd)	Zonal F(lm)	Sum F(lm)	Eff Flux(%)	Eff Sum(%)
0.0	5618.889	0.000	0	0.00%	0.00%
1.0	5602.628	5.369	5.369	0.21%	0.22%
2.0	5571.284	16.038	21.407	0.62%	0.86%
3.0	5517.522	26.521	47.928	1.03%	1.93%
4.0	5446.946	36.702	84.629	1.42%	3.41%
5.0	5363.916	46.508	131.137	1.80%	5.29%
6.0	5259.990	55.831	186.969	2.16%	7.54%
7.0	5148.037	64.602	251.571	2.50%	10.14%
8.0	5037.053	72.893	324.464	2.82%	13.08%
9.0	4910.293	80.618	405.082	3.12%	16.33%
10.0	4780.766	87.701	492.782	3.40%	19.86%
11.0	4631.380	94.047	586.829	3.64%	23.66%
12.0	4475.352	99.550	686.379	3.86%	27.67%
13.0	4307.769	104.234	790.612	4.04%	31.87%
14.0	4129.946	108.002	898.614	4.18%	36.22%
15.0	3920.709	110.523	1009.137	4.28%	40.68%
16.0	3697.565	111.629	1120.766	4.32%	45.18%
17.0	3452.625	111.348	1232.114	4.31%	49.67%
18.0	3203.673	109.748	1341.862	4.25%	54.09%
19.0	2924.483	106.617	1448.479	4.13%	58.39%
20.0	2657.609	102.168	1550.647	3.96%	62.51%
21.0	2383.401	96.798	1647.444	3.75%	66.41%
22.0	2138.462	90.869	1738.313	3.52%	70.07%
23.0	1921.476	85.188	1823.502	3.30%	73.51%
24.0	1704.974	79.287	1902.789	3.07%	76.70%
25.0	1503.902	72.963	1975.752	2.83%	79.64%
26.0	1290.936	65.972	2041.724	2.56%	82.30%
27.0	1156.337	59.873	2101.597	2.32%	84.72%
28.0	1032.753	55.423	2157.02	2.15%	86.95%
29.0	895.220	50.441	2207.461	1.95%	88.98%
30.0	763.209	44.777	2252.239	1.73%	90.79%
31.0	640.448	39.062	2291.3	1.51%	92.36%
32.0	526.496	33.432	2324.732	1.30%	93.71%
33.0	419.158	27.859	2352.591	1.08%	94.83%
34.0	306.555	21.962	2374.554	0.85%	95.72%
35.0	236.664	16.870	2391.424	0.65%	96.40%
36.0	170.081	12.951	2404.375	0.50%	96.92%
37.0	85.251	8.328	2412.702	0.32%	97.26%

$\gamma(^{\circ})$	Average I(cd)	Zonal F(lm)	Sum F(lm)	Eff Flux(%)	Eff Sum(%)
38.0	38.498	4.131	2416.833	0.16%	97.42%
39.0	27.151	2.241	2419.074	0.09%	97.51%
40.0	22.093	1.717	2420.791	0.07%	97.58%
41.0	19.671	1.487	2422.278	0.06%	97.64%
42.0	18.343	1.381	2423.659	0.05%	97.70%
43.0	17.340	1.322	2424.981	0.05%	97.75%
44.0	16.703	1.285	2426.266	0.05%	97.80%
45.0	16.149	1.263	2427.529	0.05%	97.86%
46.0	15.693	1.245	2428.774	0.05%	97.91%
47.0	15.278	1.232	2430.006	0.05%	97.95%
48.0	14.883	1.219	2431.225	0.05%	98.00%
49.0	14.516	1.207	2432.432	0.05%	98.05%
50.0	14.177	1.196	2433.629	0.05%	98.10%
51.0	13.894	1.188	2434.816	0.05%	98.15%
52.0	13.645	1.182	2435.998	0.05%	98.20%
53.0	13.409	1.177	2437.175	0.05%	98.24%
54.0	13.174	1.172	2438.347	0.05%	98.29%
55.0	12.994	1.168	2439.515	0.05%	98.34%
56.0	12.835	1.167	2440.682	0.05%	98.39%
57.0	12.655	1.165	2441.847	0.05%	98.43%
58.0	12.503	1.163	2443.011	0.05%	98.48%
59.0	12.378	1.163	2444.174	0.05%	98.53%
60.0	12.233	1.163	2445.337	0.05%	98.57%
61.0	12.129	1.163	2446.499	0.05%	98.62%
62.0	12.026	1.164	2447.663	0.05%	98.67%
63.0	11.915	1.164	2448.828	0.05%	98.71%
64.0	11.825	1.165	2449.992	0.05%	98.76%
65.0	11.728	1.166	2451.158	0.05%	98.81%
66.0	11.659	1.167	2452.325	0.05%	98.85%
67.0	11.583	1.169	2453.494	0.05%	98.90%
68.0	11.514	1.170	2454.664	0.05%	98.95%
69.0	11.465	1.172	2455.836	0.05%	99.00%
70.0	11.389	1.174	2457.01	0.05%	99.04%
71.0	11.327	1.174	2458.184	0.05%	99.09%
72.0	11.292	1.176	2459.36	0.05%	99.14%
73.0	11.258	1.179	2460.539	0.05%	99.19%
74.0	11.202	1.181	2461.72	0.05%	99.23%
75.0	11.175	1.182	2462.902	0.05%	99.28%

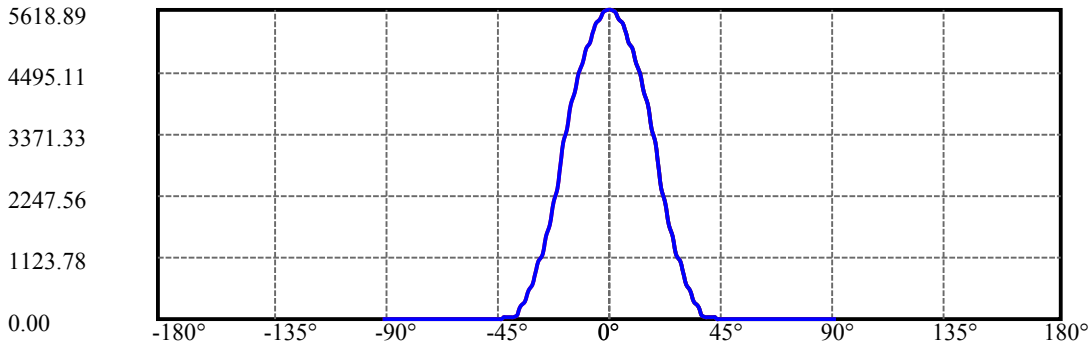
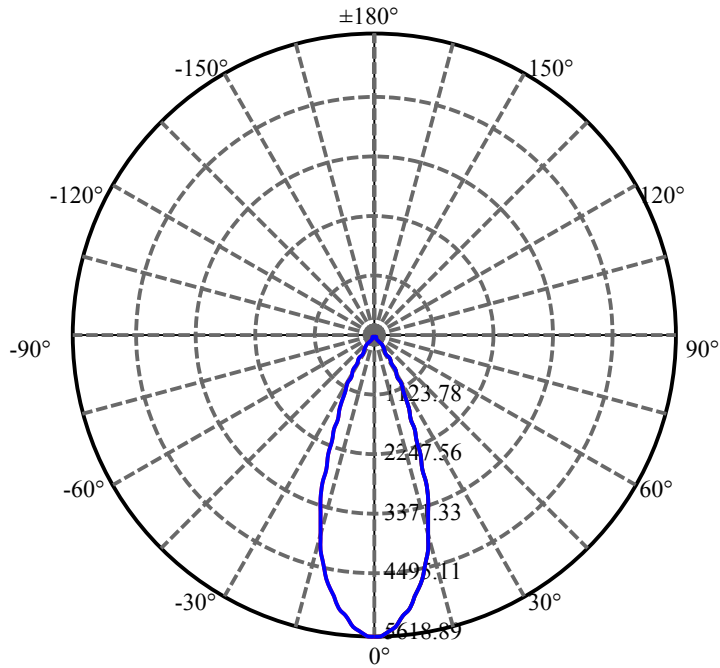
$\gamma(^{\circ})$	Average I(cd)	Zonal F(lm)	Sum F(lm)	Eff Flux(%)	Eff Sum(%)
76.0	11.154	1.185	2464.087	0.05%	99.33%
77.0	11.112	1.187	2465.274	0.05%	99.38%
78.0	11.071	1.187	2466.462	0.05%	99.42%
79.0	11.050	1.189	2467.65	0.05%	99.47%
80.0	11.029	1.190	2468.841	0.05%	99.52%
81.0	11.002	1.191	2470.032	0.05%	99.57%
82.0	10.960	1.191	2471.223	0.05%	99.62%
83.0	10.960	1.192	2472.415	0.05%	99.66%
84.0	10.925	1.192	2473.607	0.05%	99.71%
85.0	10.912	1.192	2474.799	0.05%	99.76%
86.0	10.870	1.191	2475.989	0.05%	99.81%
87.0	10.856	1.189	2477.178	0.05%	99.86%
88.0	10.835	1.188	2478.367	0.05%	99.90%
89.0	10.822	1.187	2479.554	0.05%	99.95%
90.0	10.822	1.187	2480.74	0.05%	100.00%

ZONAL LUMEN SUMMARY

Zone	Lumens	%Lamp	%Fixt
0-30	2252.24	87.25%	90.79%
0-40	2420.79	93.78%	97.58%
0-60	2445.34	94.73%	98.57%
0-90	2479.55	96.06%	99.95%
0-120	2479.55	96.06%	99.95%
0-180	2480.74	96.11%	100.00%
60-90	34.22	1.33%	1.38%
90-120	0.00	0.00%	0.00%
90-130	0.00	0.00%	0.00%
90-150	0.00	0.00%	0.00%
90-180	0.00	0.00%	0.00%
0-25.13	1984.59	76.89%	80.00%

ZONAL LUMEN SUMMARY

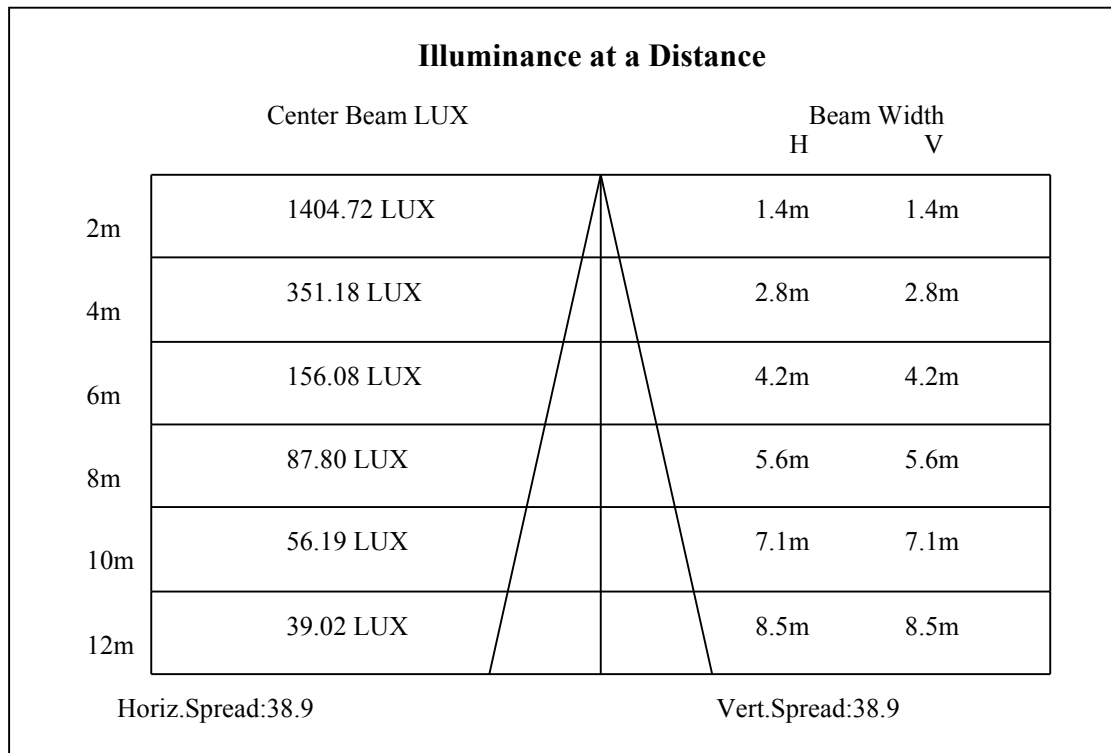
0-10	492.78
10-20	1057.86
20-30	701.59
30-40	168.55
40-50	12.84
50-60	11.71
60-70	11.67
70-80	11.83
80-90	10.71
90-100	0.00
100-110	0.00
110-120	0.00
120-130	0.00
130-140	0.00
140-150	0.00
150-160	0.00
160-170	0.00
170-180	0.00

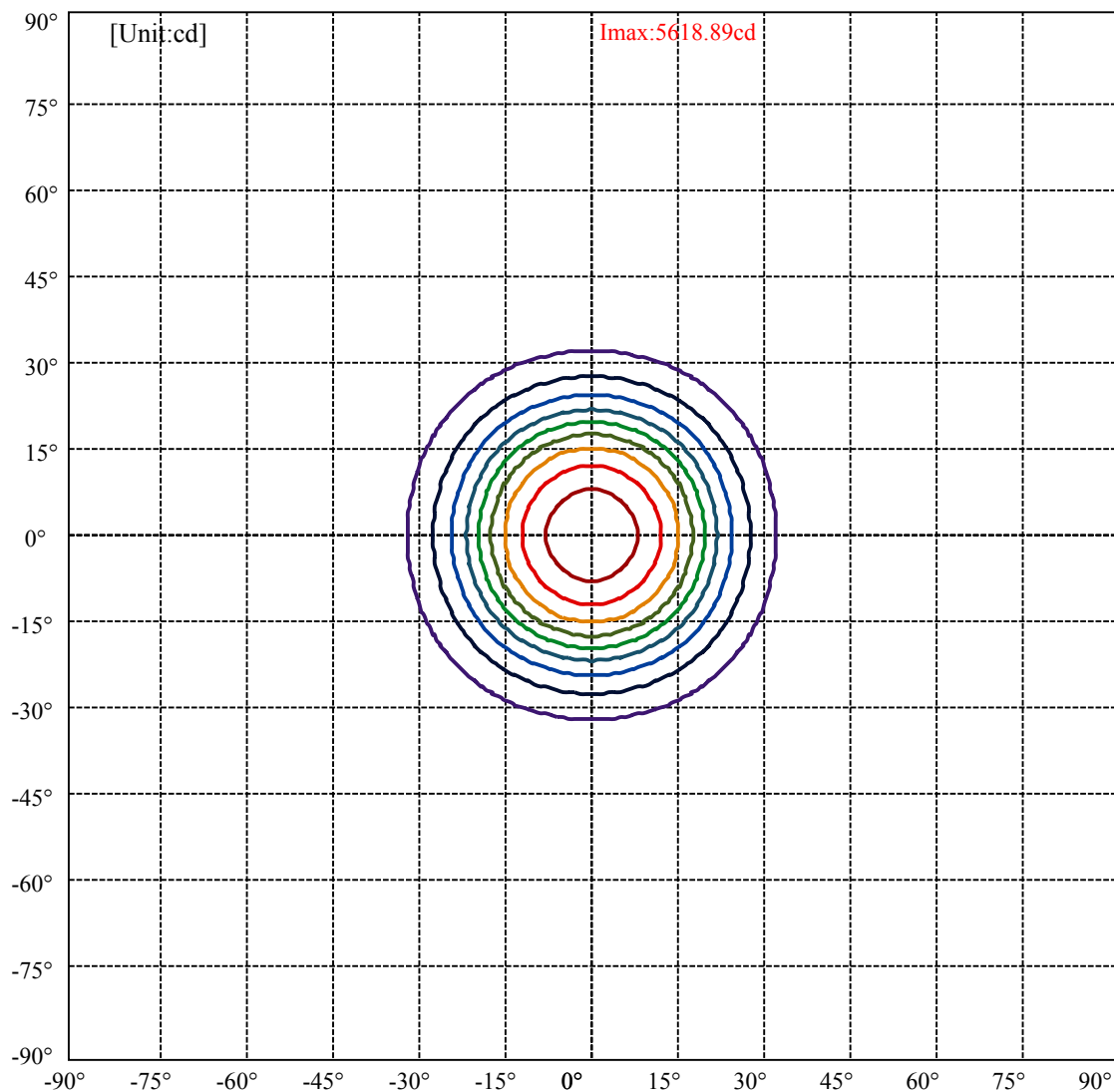


C0(Max): ———
C0/C180: ———
C90/C270: ———

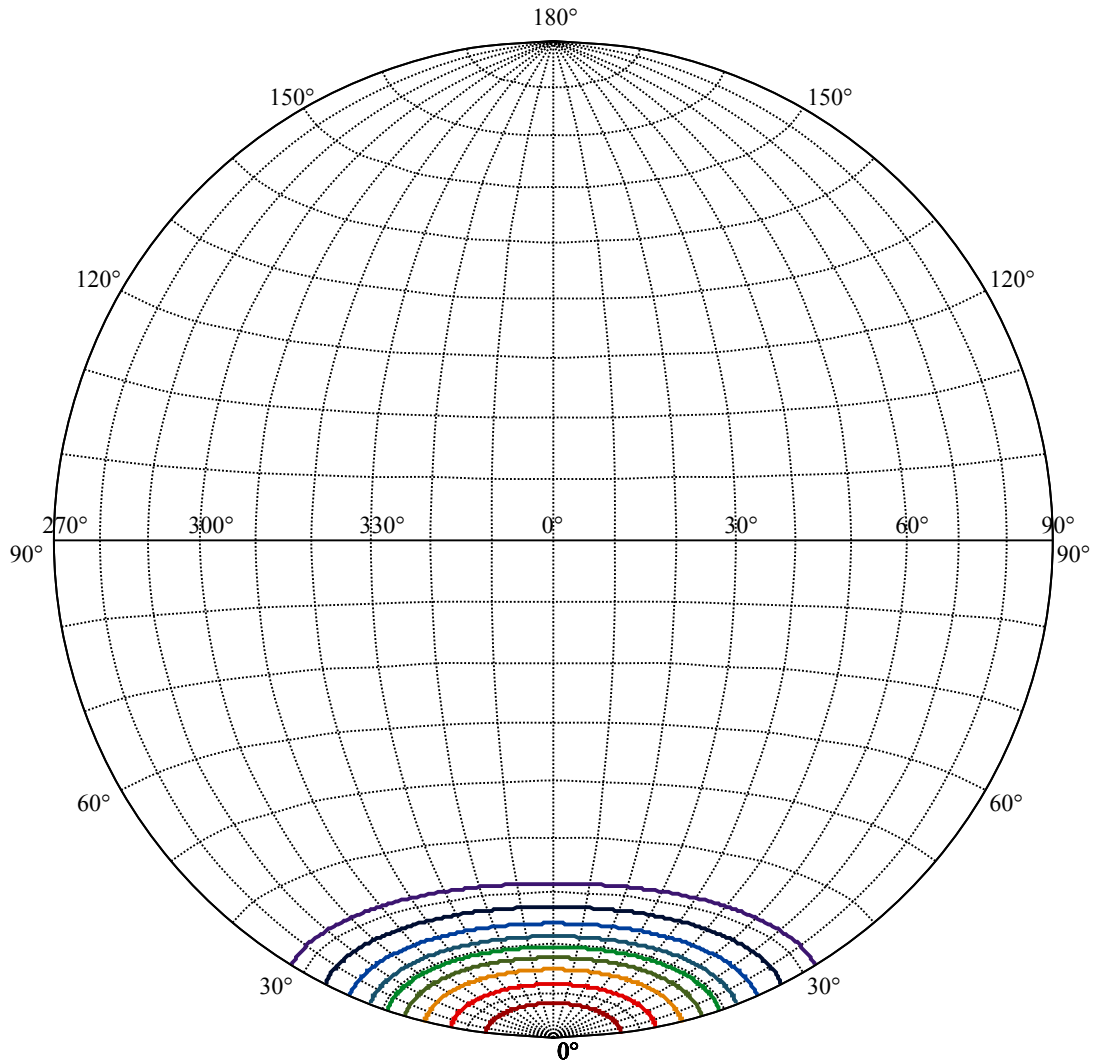
Field angle(10%Imax):C0/180Left:31.7 Right:31.7
:C90/270Left:31.7 Right:31.7

Beam Angle(50%Imax):C0/180Left:19.4 Right:19.4
:C90/270Left:19.4 Right:19.4





(10%Imax) 561.889	—
(20%Imax) 1123.78	—
(30%Imax) 1685.67	—
(40%Imax) 2247.56	—
(50%Imax) 2809.44	—
(60%Imax) 3371.33	—
(70%Imax) 3933.22	—
(80%Imax) 4495.11	—
(90%Imax) 5057	—



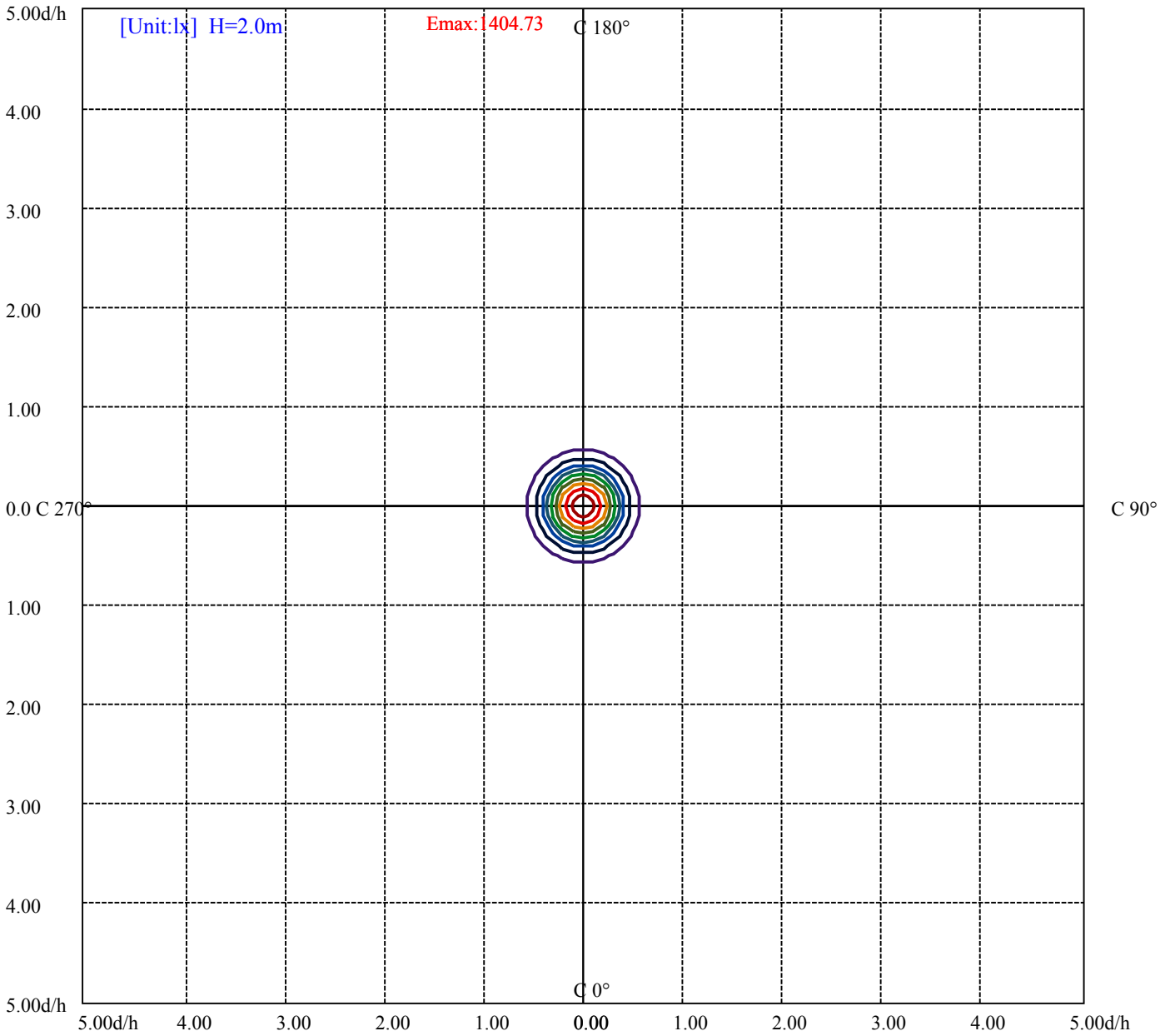
House

[Unit:cd]

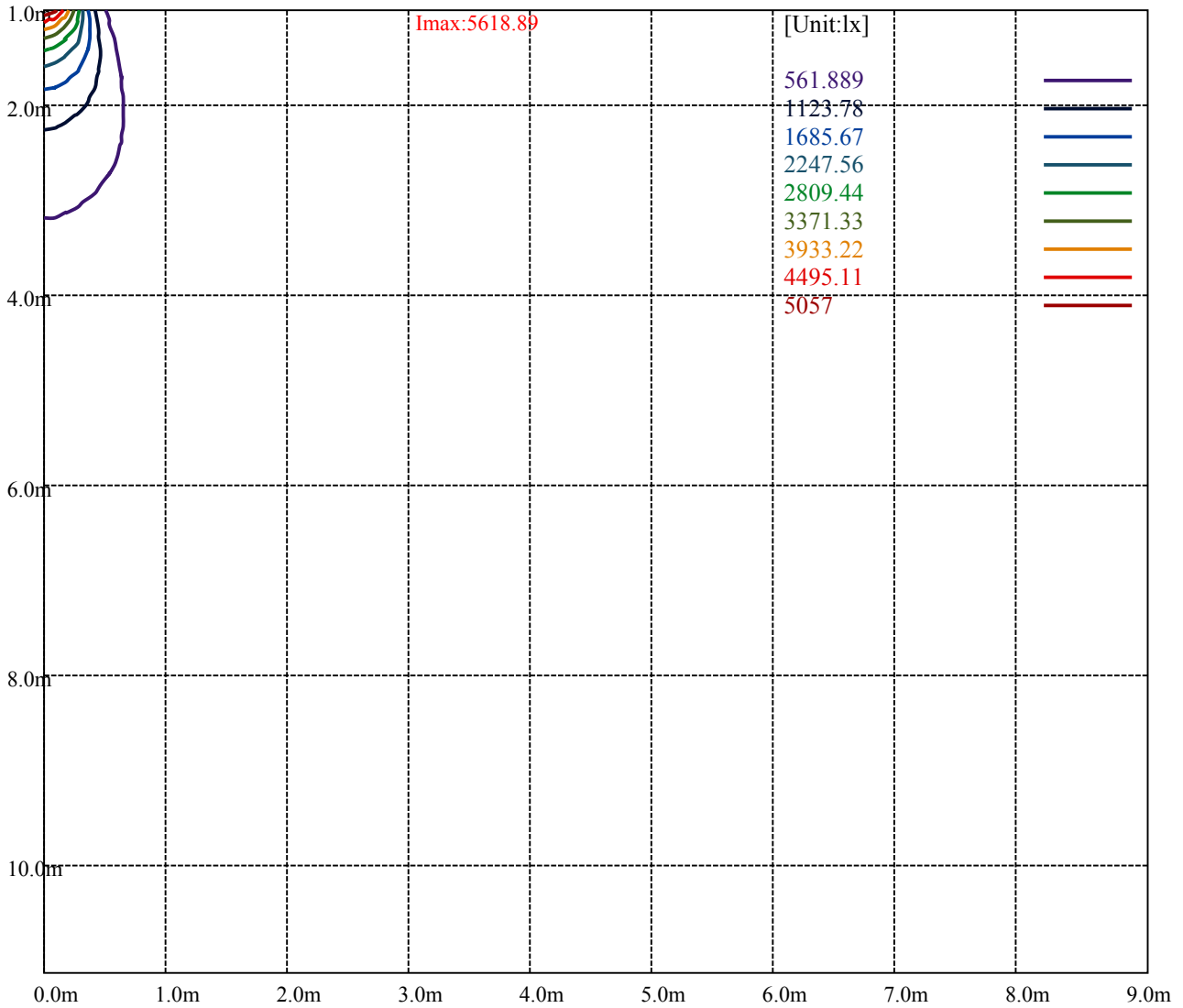
Road

Imax:5618.89

(10%Imax)	561.889	—
(20%Imax)	1123.78	—
(30%Imax)	1685.67	—
(40%Imax)	2247.56	—
(50%Imax)	2809.44	—
(60%Imax)	3371.33	—
(70%Imax)	3933.22	—
(80%Imax)	4495.11	—
(90%Imax)	5057	—



- (10%Emax) 140.4722 ———
- (20%Emax) 280.945 ———
- (30%Emax) 421.4175 ———
- (40%Emax) 561.8875 ———
- (50%Emax) 702.36 ———
- (60%Emax) 842.8325 ———
- (70%Emax) 983.305 ———
- (80%Emax) 1123.777 ———
- (90%Emax) 1264.25 ———



Luminance Table

γ	45	50	55	60	65	70	75	80	85
C0	0	0	0	0	0	0	0	0	0
C45	0	0	0	0	0	0	0	0	0
C90	0	0	0	0	0	0	0	0	0

L(Hor)(65)	L(Ver)(65)	L45(65)	L(Hor)(75)	L(Ver)(75)	L45(75)	L(Hor)(85)	L(Ver)(85)	L45(85)
0	0	0	0	0	0	0	0	0

Glare Table

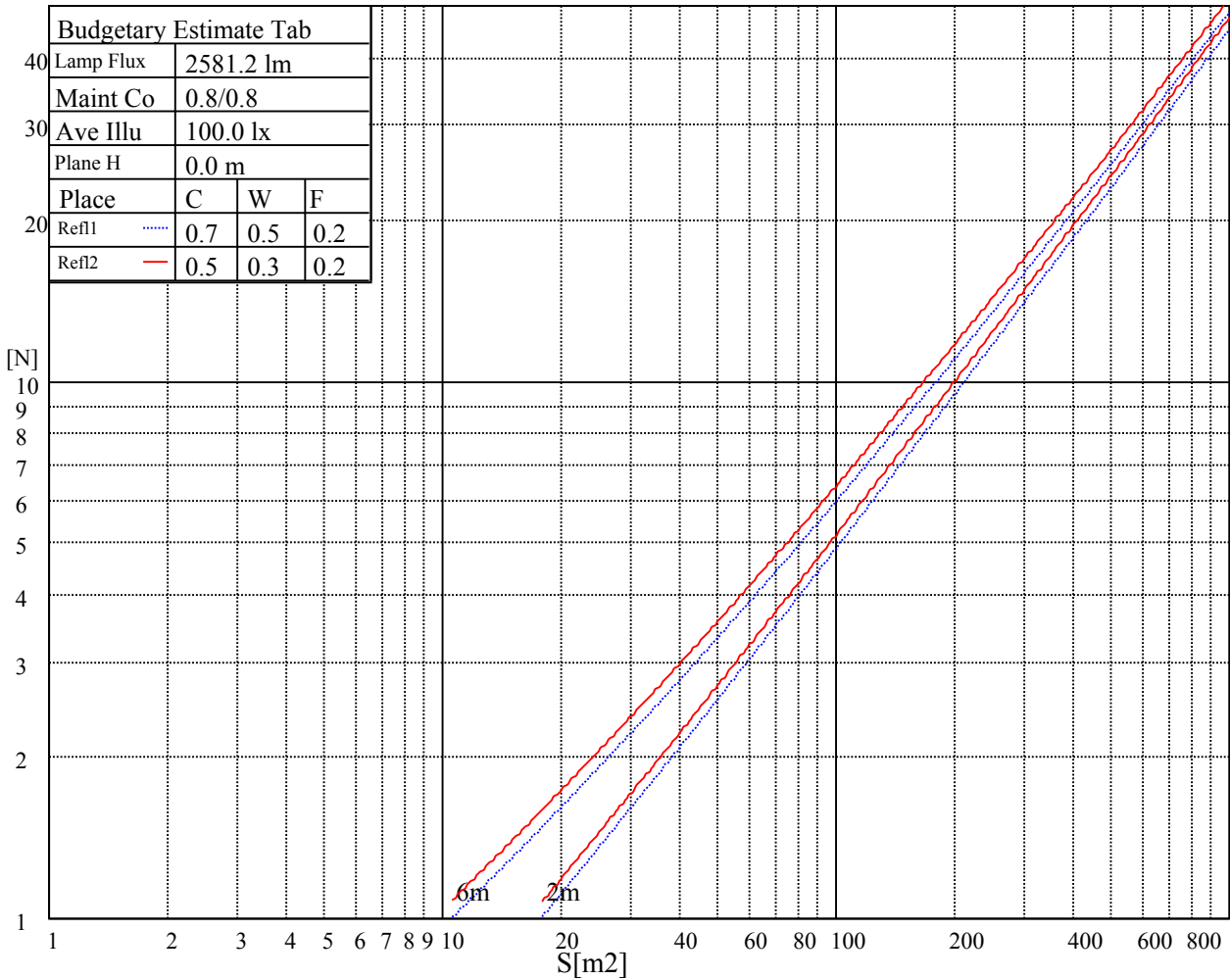
Glare	Quality	Service Values Illuminance(lx)							
1.15	A	2000	1000	500	<=300				
1.5	B		2000	1000	500	<=300			
1.85	C			2000	1000	500	<=300		
2.2	D				2000	1000	500	<=300	
2.55	E					2000	1000	500	<=300
		a	b	c	d	e	f	g	h

Luminance Limiting Curve

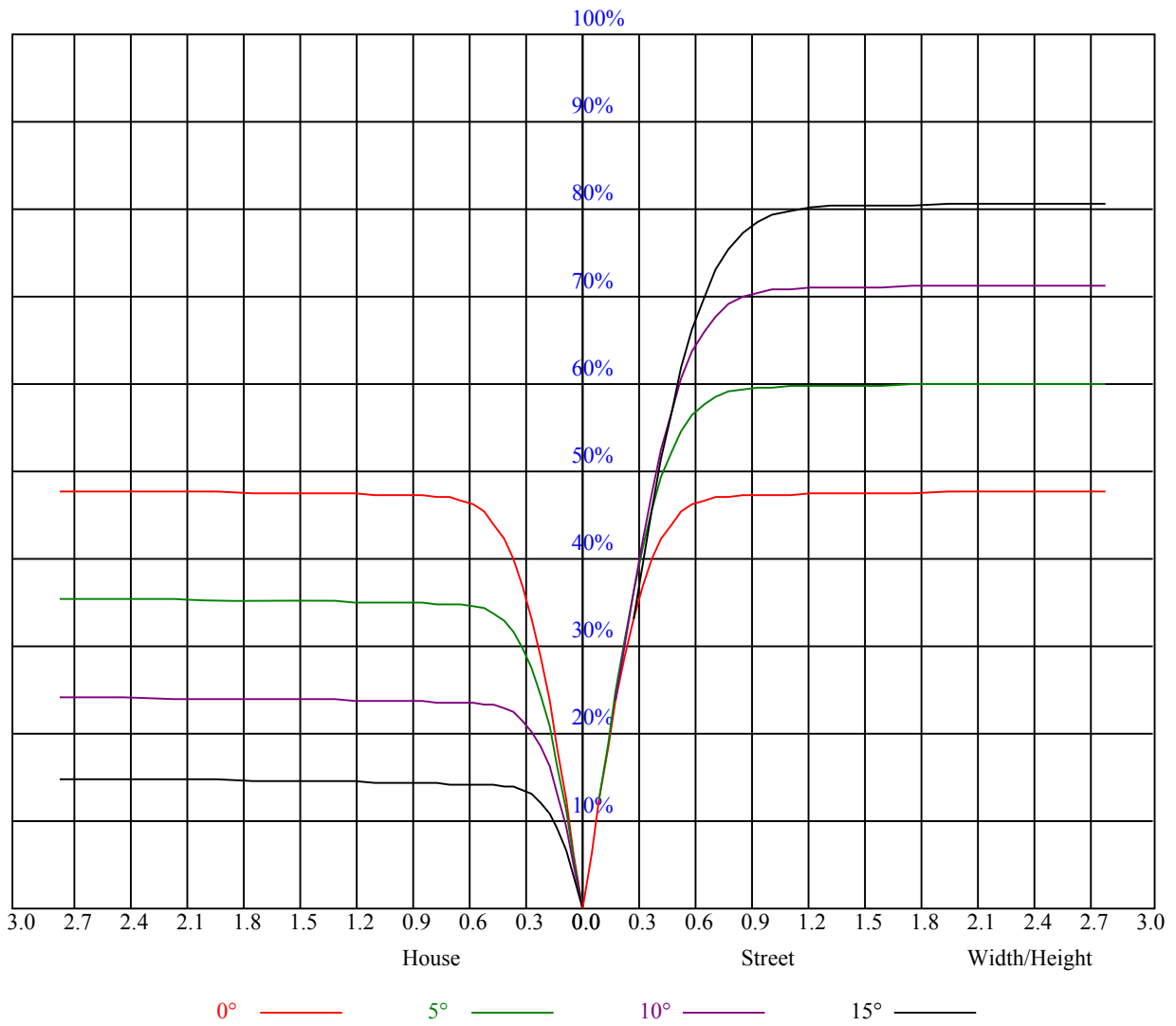


Illumination assessment according UGR											
Rf of Ceiling	70	70	50	50	30	70	70	50	50	30	
Rf of Wall	50	30	50	30	30	50	30	50	30	30	
Rf of Floor	20	20	20	20	20	20	20	20	20	20	
Room dimensions		Viewed crosswise					Viewed endwise				
X	Y										
2H	2H	非数字	非数字	非数字	非数字	非数字	非数字	非数字	非数字	非数字	
	3H	非数字	非数字	非数字	非数字	非数字	非数字	非数字	非数字	非数字	
	4H	非数字	非数字	非数字	非数字	非数字	非数字	非数字	非数字	非数字	
	6H	非数字	非数字	非数字	非数字	非数字	非数字	非数字	非数字	非数字	
	8H	非数字	非数字	非数字	非数字	非数字	非数字	非数字	非数字	非数字	
4H	12H	非数字	非数字	非数字	非数字	非数字	非数字	非数字	非数字	非数字	
	2H	非数字	非数字	非数字	非数字	非数字	非数字	非数字	非数字	非数字	
	3H	非数字	非数字	非数字	非数字	非数字	非数字	非数字	非数字	非数字	
	4H	非数字	非数字	非数字	非数字	非数字	非数字	非数字	非数字	非数字	
	6H	非数字	非数字	非数字	非数字	非数字	非数字	非数字	非数字	非数字	
8H	8H	非数字	非数字	非数字	非数字	非数字	非数字	非数字	非数字	非数字	
	12H	非数字	非数字	非数字	非数字	非数字	非数字	非数字	非数字	非数字	
	4H	非数字	非数字	非数字	非数字	非数字	非数字	非数字	非数字	非数字	
	6H	非数字	非数字	非数字	非数字	非数字	非数字	非数字	非数字	非数字	
	8H	非数字	非数字	非数字	非数字	非数字	非数字	非数字	非数字	非数字	
12H	12H	非数字	非数字	非数字	非数字	非数字	非数字	非数字	非数字	非数字	
	4H	非数字	非数字	非数字	非数字	非数字	非数字	非数字	非数字	非数字	
	6H	非数字	非数字	非数字	非数字	非数字	非数字	非数字	非数字	非数字	
	8H	非数字	非数字	非数字	非数字	非数字	非数字	非数字	非数字	非数字	
Variation with the observer position at spacings:											
S = 1.0H	非数字/非数字					非数字/非数字					
S = 1.5H	非数字/非数字					非数字/非数字					
S = 2.0H	非数字/非数字					非数字/非数字					
Standard tables:	BK0					BK0					
Uncorrected UGR	负无穷大					负无穷大					

UGR calculation is based on CIE Publ. 117 ,S/H = 0.25



RHOCC	80			70			50			30			10			0
RHOW	50	30	10	50	30	10	50	30	10	50	30	10	50	30	10	0
RCR	COEFFICIENTS OF UTILIZATION RHOF=20 CU															
0	1.14	1.14	1.14	1.12	1.12	1.12	1.07	1.07	1.07	1.02	1.02	1.02	0.98	0.98	0.98	0.96
1	1.07	1.05	1.03	1.05	1.03	1.02	1.01	1.00	0.98	0.98	0.97	0.96	0.95	0.94	0.93	0.91
2	1.01	0.98	0.95	1.00	0.97	0.94	0.97	0.94	0.92	0.94	0.92	0.90	0.91	0.90	0.88	0.87
3	0.96	0.92	0.89	0.95	0.91	0.88	0.92	0.89	0.87	0.90	0.87	0.85	0.88	0.86	0.84	0.83
4	0.91	0.87	0.83	0.90	0.86	0.83	0.88	0.85	0.82	0.86	0.83	0.81	0.85	0.82	0.80	0.79
5	0.87	0.82	0.79	0.86	0.82	0.78	0.84	0.81	0.78	0.83	0.80	0.77	0.81	0.79	0.76	0.75
6	0.83	0.78	0.75	0.82	0.78	0.75	0.81	0.77	0.74	0.80	0.76	0.74	0.78	0.75	0.73	0.72
7	0.79	0.75	0.71	0.79	0.74	0.71	0.78	0.74	0.71	0.77	0.73	0.70	0.76	0.72	0.70	0.69
8	0.76	0.71	0.68	0.76	0.71	0.68	0.75	0.71	0.68	0.74	0.70	0.67	0.73	0.70	0.67	0.66
9	0.73	0.68	0.65	0.73	0.68	0.65	0.72	0.68	0.65	0.71	0.67	0.65	0.70	0.67	0.65	0.63
10	0.70	0.66	0.63	0.70	0.65	0.63	0.69	0.65	0.62	0.68	0.65	0.62	0.68	0.64	0.62	0.61



Intensity data(cd)

C/γ(°)	0.0	1.0	2.0	3.0	4.0	5.0	6.0	7.0	8.0
0.0	5641.58	5626.08	5605.60	5555.23	5472.76	5385.85	5291.20	5193.77	5058.71
45.0	5611.69	5614.46	5615.57	5580.14	5517.59	5450.61	5357.62	5248.02	5153.36
90.0	5604.50	5576.82	5534.75	5474.97	5375.89	5286.77	5182.70	5054.28	4936.93
135.0	5617.78	5585.12	5557.45	5495.45	5429.58	5317.76	5218.68	5092.48	4987.86
180.0	5641.58	5628.85	5588.44	5528.11	5461.13	5387.51	5269.61	5160.01	5046.53
225.0	5611.69	5569.62	5512.61	5443.42	5359.28	5269.05	5136.76	5022.18	4906.49
270.0	5604.50	5609.48	5587.89	5526.45	5488.81	5421.28	5336.03	5224.22	5115.72
315.0	5617.78	5610.59	5567.96	5536.41	5470.54	5392.49	5287.32	5189.34	5090.82
360.0	5641.58	5626.08	5605.60	5555.23	5472.76	5385.85	5291.20	5193.77	5058.71
C/γ(°)	9.0	10.0	11.0	12.0	13.0	14.0	15.0	16.0	17.0
0.0	4930.29	4805.19	4661.82	4466.98	4302.03	4081.17	3873.59	3638.89	3326.14
45.0	5043.76	4918.67	4754.27	4602.60	4438.20	4267.71	4011.97	3791.11	3540.91
90.0	4811.83	4678.98	4483.59	4319.74	4134.31	3926.18	3633.91	3384.82	3129.64
135.0	4868.29	4747.62	4576.58	4427.13	4261.62	4092.24	3889.64	3613.98	3367.10
180.0	4902.61	4788.03	4662.93	4520.12	4335.79	4176.93	4015.85	3839.82	3575.23
225.0	4750.94	4641.90	4505.17	4362.92	4210.14	4021.38	3848.68	3614.53	3395.33
270.0	5005.57	4847.81	4728.25	4558.87	4420.48	4271.03	4109.40	3903.48	3715.83
315.0	4969.04	4817.92	4678.43	4544.48	4359.59	4202.94	3982.64	3793.88	3570.81
360.0	4930.29	4805.19	4661.82	4466.98	4302.03	4081.17	3873.59	3638.89	3326.14
C/γ(°)	18.0	19.0	20.0	21.0	22.0	23.0	24.0	25.0	26.0
0.0	3073.18	2817.44	2565.03	2262.25	2040.28	1830.49	1640.07	1435.26	1100.87
45.0	3221.52	2962.47	2649.17	2397.31	2160.95	1941.20	1694.32	1517.19	1366.07
90.0	2877.22	2556.73	2310.40	2025.89	1812.78	1621.25	1414.23	1094.84	1094.84
135.0	3115.25	2797.52	2542.89	2235.68	2017.03	1814.99	1584.16	1420.87	1271.42
180.0	3341.09	3093.66	2773.16	2515.77	2207.45	1998.76	1796.17	1607.41	1393.19
225.0	3160.64	2855.64	2607.10	2369.08	2086.78	1880.31	1690.44	1513.87	1070.59
270.0	3510.47	3297.91	3066.53	2767.07	2521.30	2297.67	2030.31	1832.15	1590.25
315.0	3330.02	3014.50	2746.59	2494.18	2261.14	1987.14	1790.08	1609.63	1440.25
360.0	3073.18	2817.44	2565.03	2262.25	2040.28	1830.49	1640.07	1435.26	1100.87
C/γ(°)	27.0	28.0	29.0	30.0	31.0	32.0	33.0	34.0	35.0
0.0	1100.87	960.55	839.44	726.96	589.24	482.13	378.62	253.91	164.62
45.0	1227.69	1053.32	923.80	805.89	669.17	561.78	456.06	328.19	303.28
90.0	961.49	839.05	730.39	625.00	491.82	386.42	284.35	190.19	93.71
135.0	1120.30	952.03	832.46	726.18	618.80	487.61	384.10	284.46	284.46
180.0	1242.63	1092.07	950.37	793.72	679.69	573.96	470.45	340.92	291.66
225.0	1070.59	996.75	866.01	719.65	608.72	500.56	372.81	277.99	191.03
270.0	1434.71	1275.85	1071.59	916.05	783.75	671.38	562.89	432.26	333.73
315.0	1092.40	1092.40	947.71	792.22	682.40	548.11	443.99	344.52	230.82
360.0	1100.87	960.55	839.44	726.96	589.24	482.13	378.62	253.91	164.62
C/γ(°)	36.0	37.0	38.0	39.0	40.0	41.0	42.0	43.0	44.0
0.0	92.00	47.49	28.89	23.19	19.87	18.38	17.21	16.55	16.05
45.0	303.28	59.56	35.87	28.12	23.80	21.26	19.93	18.93	18.21
90.0	48.05	31.00	23.75	20.43	18.54	17.55	16.83	16.33	15.72
135.0	88.95	46.94	29.06	22.97	19.15	17.99	17.10	16.44	15.94
180.0	291.66	72.68	39.74	27.07	22.53	19.76	18.43	17.21	16.55
225.0	98.53	53.69	34.93	26.51	23.30	21.37	20.09	18.82	18.16
270.0	287.78	287.78	71.74	38.97	27.51	22.36	19.65	17.99	17.10
315.0	150.40	82.86	44.01	29.95	22.03	18.71	17.49	16.44	15.89
360.0	92.00	47.49	28.89	23.19	19.87	18.38	17.21	16.55	16.05

Intensity data(cd)

C/γ(°)	45.0	46.0	47.0	48.0	49.0	50.0	51.0	52.0	53.0
0.0	15.50	15.11	14.67	14.39	14.06	13.73	13.51	13.34	13.17
45.0	17.49	16.94	16.44	15.83	15.44	15.00	14.61	14.28	14.00
90.0	15.33	14.95	14.61	14.23	13.95	13.67	13.45	13.28	13.06
135.0	15.39	15.00	14.72	14.39	14.00	13.73	13.51	13.28	13.12
180.0	16.11	15.67	15.22	14.89	14.56	14.23	13.95	13.67	13.40
225.0	17.55	16.99	16.44	16.00	15.44	15.06	14.67	14.34	14.06
270.0	16.38	15.89	15.44	15.06	14.72	14.28	14.00	13.73	13.45
315.0	15.44	15.00	14.67	14.28	13.95	13.73	13.45	13.23	13.01
360.0	15.50	15.11	14.67	14.39	14.06	13.73	13.51	13.34	13.17
C/γ(°)	54.0	55.0	56.0	57.0	58.0	59.0	60.0	61.0	62.0
0.0	12.90	12.79	12.68	12.51	12.34	12.29	12.18	12.07	11.96
45.0	13.67	13.45	13.28	13.01	12.84	12.68	12.51	12.34	12.23
90.0	12.84	12.73	12.57	12.40	12.29	12.18	12.07	11.96	11.90
135.0	12.90	12.73	12.62	12.45	12.34	12.23	12.07	12.01	11.90
180.0	13.23	13.01	12.84	12.73	12.57	12.45	12.29	12.23	12.12
225.0	13.78	13.51	13.28	13.06	12.90	12.73	12.51	12.40	12.29
270.0	13.23	13.06	12.84	12.68	12.51	12.34	12.23	12.12	12.01
315.0	12.84	12.68	12.57	12.40	12.23	12.12	12.01	11.90	11.79
360.0	12.90	12.79	12.68	12.51	12.34	12.29	12.18	12.07	11.96
C/γ(°)	63.0	64.0	65.0	66.0	67.0	68.0	69.0	70.0	71.0
0.0	11.90	11.79	11.73	11.68	11.57	11.51	11.51	11.46	11.35
45.0	12.12	12.01	11.90	11.79	11.68	11.62	11.57	11.46	11.40
90.0	11.79	11.68	11.62	11.57	11.51	11.46	11.40	11.35	11.29
135.0	11.79	11.73	11.62	11.51	11.51	11.40	11.35	11.29	11.24
180.0	12.01	11.90	11.79	11.79	11.62	11.62	11.51	11.46	11.40
225.0	12.12	12.01	11.90	11.79	11.73	11.62	11.57	11.46	11.40
270.0	11.90	11.85	11.73	11.68	11.62	11.51	11.51	11.40	11.35
315.0	11.68	11.62	11.51	11.46	11.40	11.35	11.29	11.24	11.18
360.0	11.90	11.79	11.73	11.68	11.57	11.51	11.51	11.46	11.35
C/γ(°)	72.0	73.0	74.0	75.0	76.0	77.0	78.0	79.0	80.0
0.0	11.35	11.29	11.24	11.24	11.24	11.18	11.13	11.13	11.07
45.0	11.40	11.35	11.29	11.24	11.24	11.18	11.13	11.07	11.07
90.0	11.24	11.24	11.18	11.13	11.13	11.07	11.02	11.02	11.02
135.0	11.18	11.13	11.13	11.07	11.07	11.02	10.96	10.96	10.96
180.0	11.35	11.35	11.29	11.29	11.24	11.18	11.18	11.13	11.13
225.0	11.35	11.35	11.24	11.24	11.18	11.18	11.13	11.13	11.07
270.0	11.29	11.24	11.18	11.18	11.13	11.13	11.07	11.07	11.02
315.0	11.18	11.13	11.07	11.02	11.02	10.96	10.96	10.90	10.90
360.0	11.35	11.29	11.24	11.24	11.24	11.18	11.13	11.13	11.07
C/γ(°)	81.0	82.0	83.0	84.0	85.0	86.0	87.0	88.0	89.0
0.0	11.07	11.02	11.02	11.02	11.02	10.96	10.96	10.96	10.90
45.0	11.07	11.02	11.02	10.96	10.96	10.90	10.90	10.90	10.85
90.0	10.96	10.90	10.90	10.90	10.85	10.85	10.85	10.79	10.79
135.0	10.90	10.85	10.85	10.85	10.79	10.79	10.74	10.74	10.74
180.0	11.07	11.07	11.07	11.02	11.02	10.96	10.90	10.90	10.90
225.0	11.07	11.02	11.02	10.96	10.96	10.90	10.90	10.85	10.85
270.0	11.02	10.96	10.96	10.90	10.90	10.85	10.85	10.79	10.79
315.0	10.85	10.85	10.85	10.79	10.79	10.74	10.74	10.74	10.74
360.0	11.07	11.02	11.02	11.02	11.02	10.96	10.96	10.96	10.90

Intensity data(cd)

C/γ(°)	90.0
0.0	10.96
45.0	10.85
90.0	10.79
135.0	10.74
180.0	10.85
225.0	10.85
270.0	10.79
315.0	10.74
360.0	10.96